

Práctica 1 Descripción y uso de código de optimización topológica

Uriel G. Ernesto A. Marcela O. Ana L. Diego O.

5 de septiembre de 2022

Resumen

En esta práctica explicaremos lo que es un código topológico y que sucede cuando lo optimizamos, así mismo se mostrará un ejemplo de cómo se vería un código de optimización topológica

1. Introducción

La optimización topológica es una herramienta matemática que le permite a un diseñador sintetizar topologías de forma óptima. En la mecánica se entiende como topología óptima a una pieza o parte mecánica diseñada especialmente para maximizar o minimizar alguna característica deseada[1].

2. Objetivo

El estudiante conocerá cada una de las secciones que integran el código de optimización topológica, como se debe crear el archivo (.m) en MATLAB y como se ejecuta el análisis.

3. Instrucciones

El estudiante deberá presentar una propuesta de análisis de formas y de la programación, de características de trabajo específicas (programación) que presenta.

4. Estado del arte

La optimización topológica es una técnica englobada dentro del campo de análisis estructural. Se basa en el análisis mecánico de un componente o estructura. Su principal objetivo es el aligeramiento estructural manteniendo las funcionalidades mecánicas del componente objetivo. A diferencia de otros tipos de optimización, la optimización topológica ofrece un nuevo concepto de diseño estructural enfocado a aquellas aplicaciones donde el peso del componente es crucial[2].

Gracias a los nuevos métodos computacionales, es posible llevar la optimización a un nivel más complejo de análisis a nivel estático, dinámico, plástico, modal o de impacto, entre otros, los cuales pueden considerarse durante el proceso de optimización.

La optimización topológica comienza con la creación de un modelo 3D en la fase de borrador, en el que se aplicaran las diferentes cargas o fuerzas para la pieza (una presión sobre las lengüetas de sujeción, por ejemplo). Después, el software se encarga de calcular todas las tensiones aplicadas[3].

En este nivel, se puede realizar un corte de la pieza con el fin de retirar las partes no sometidas a las fuerzas. La geometría final, que cumple con los requisitos mecánicos y de diseño, se puede obtener finalmente después de

alisar la pieza. De esta forma, la optimización topológica responde a la necesidad de reducción de masa además del aumento de la resistencia mecánica de la pieza.

5. Código de programación

```

1  %%% A 99 LINE TOPOLOGY OPTIMIZATION CODE BY OLESIGMUND, OCTOBER 1999 %%%
2  function P1(nelx,nely,volfrac,penal,rmin)
3  % INITIALIZE
4  x(1:nely,1:nelx) = volfrac;
5  loop = 0;
6  change = 1.;
7  % START ITERATION
8  while change > 0.01
9      loop = loop + 1;
10     xold = x;
11     % FE-ANALYSIS
12     [U]=FE(nelx,nely,x,penal);
13     % OBJECTIVE FUNCTION AND SENSITIVITY ANALYSIS
14     [KE] = lk;
15     c = 0.;
16     for ely = 1:nely
17         for elx = 1:nelx
18             n1 = (nely+1)*(elx-1)+ely;
19             n2 = (nely+1)* elx +ely;
20             Ue = U([2*n1-1;2*n1; 2*n2-1;2*n2; 2*n2+1; 2*n2+2; 2*n1+1;2*n1+2],1);
21             c = c + x(ely,elx)^penal*Ue'*KE*Ue;
22             dc(ely,elx) = -penal*x(ely,elx)^(penal-1)*Ue'*KE*Ue;
23         end
24     end
25     % FILTERING OF SENSITIVITIES
26     [dc] = check(nelx,nely,rmin,x,dc);
27     % DESIGN UPDATE BY THE OPTIMALITY CRITERIA METHOD
28     [x] = OC(nelx,nely,x,volfrac,dc);
29     % PRINT RESULTS
30     change = max(max(abs(x-xold)));
31     disp(['It.: ' sprintf('%4i',loop) 'Obj.: ' sprintf('%10.4f',c) ...
32         ' Vol.: ' sprintf('%6.3f',sum(sum(x))/(nelx*nely)) ...
33         ' ch.: ' sprintf('%6.3f',change )])
34     % PLOT DENSITIES
35     colormap(gray); imagesc(-x); axis equal; axis tight; axis off;pause(1e-6);
36 end
37 end
38
39 %%%%%%%%%% OPTIMALITY CRITERIA UPDATE %%%%%%%%%%
40 function [xnew]=OC(nelx,nely,x,volfrac,dc)
41 l1 = 0; l2 = 100000; move = 0.2;
42 while (l2-l1 > 1e-4)
43     lmid = 0.5*(l2+l1);
44     xnew = max(0.001,max(x-move,min(1.,min(x+move,x.*sqrt(-dc./lmid)))));
45     if sum(sum(xnew)) - volfrac*nelx*nely > 0
46         l1 = lmid;
47     else
48         l2 = lmid;
49     end
50 end
51 end
52

```

Figura 1: Parte 1 del código

```

48         l2 = lmid;
49     end
50 end
51 end
52
53 %%%%%%%%% MESH-INDEPENDENCY FILTER %%%%%%%%%
54 function [dcn]=check(nelx,nely,rmin,x,dc)
55 dcn=zeros(nely,nelx);
56 for i = 1:nelx
57     for j = 1:nely
58         sum=0.0;
59         for k = max(i-round(rmin),1):min(i+round(rmin),nelx)
60             for l = max(j-round(rmin),1):min(j+round(rmin), nely)
61                 fac = rmin-sqrt((i-k)^2+(j-l)^2);
62                 sum = sum+max(0,fac);
63                 dcn(j,i) = dcn(j,i) + max(0,fac)*x(l,k)*dc(l,k);
64             end
65         end
66         dcn(j,i) = dcn(j,i)/(x(j,i)*sum);
67     end
68 end
69 end
70
71 %%%%%%%%% FE-ANALYSIS %%%%%%%%%
72 function [U]=FE(nelx,nely,x,penal)
73 [KE] = lk;
74 K = sparse(2*(nelx+1)*(nely+1), 2*(nelx+1)*(nely+1));
75 F = sparse(2*(nely+1)*(nelx+1),1); U =sparse(2*(nely+1)*(nelx+1),1);
76 for ely = 1:nely
77     for elx = 1:nelx
78         n1 = (nely+1)*(elx-1)+ely;
79         n2 = (nely+1)* elx +ely;
80         edof = [2*n1-1; 2*n1; 2*n2-1; 2*n2; 2*n2+1;2*n2+2;2*n1+1; 2*n1+2];
81         K(edof,edof) = K(edof,edof) + x(ely,elx)^penal*KE;
82     end
83 end
84 % DEFINE LOADSAND SUPPORTS(HALF MBB-BEAM)
85 F(2,1) = -1;
86 fixeddofs =union([1:2*(nely+1)],[2*(nelx+1)*(nely+1)]);
87 alldofs = [1:2*(nely+1)*(nelx+1)];
88 freedofs = setdiff(alldofs,fixeddofs);
89 % SOLVING 127
90 U(freedofs,:) = K(freedofs,freedofs) \F(freedofs,:);
91 U(fixeddofs,:)= 0;
92 end
93 %%%%%%%%% ELEMENT STIFFNESS MATRIX %%%%%%%%%
94 function [KE]=lk
95 E = 1.;
96 nu = 0.3;
97 k=[ 1/2-nu/6 1/8+nu/8 -1/4-nu/12 -1/8+3*nu/8 ...
98 -1/4+nu/12 -1/8-nu/8 nu/6 1/8-3*nu/8];
99 KE = E/(1-nu^2)*[ k(1) k(2) k(3) k(4) k(5) k(6) k(7) k(8)
100 k(2) k(1) k(8) k(7) k(6) k(5) k(4) k(3)
101 k(3) k(8) k(1) k(6) k(7) k(4) k(5) k(2)
102 k(4) k(7) k(6) k(1) k(8) k(3) k(2) k(5)
103 k(5) k(6) k(7) k(8) k(1) k(2) k(3) k(4)
104 k(6) k(5) k(4) k(3) k(2) k(1) k(8) k(7)
105 k(7) k(4) k(5) k(2) k(3) k(8) k(1) k(6)
106 k(8) k(3) k(2) k(5) k(4) k(7) k(6) k(1)];
107 end

```

Figura 2: Parte 2 del código

6. Procedimiento de la programación

Al empezar el programa encontramos que necesitamos colocar ciertas variables como son: •nelx, que indica el número de elementos en las direcciones horizontales.

•nely, que indica ese mismo valor, pero para direcciones verticales.

•volfrac, la cual sirve para identificar la fracción de volumen.

•penal, que hace referencia al poder de penalización.

•rmin, esta variable dicta el tamaño del filtro el cual es dividido por el tamaño del elemento.

```
1  %% A 99 LINE TOPOLOGY OPTIMIZATION CODE BY OLESGIMUND, OCTOBER 1999 %%
2  function P1(nelx,nely,volfrac,penal,rmin)
3  % INITIALIZE
4  → x(1:nely,1:nelx) = volfrac;
5      loop = 0;
6      change = 1.;
7      % START ITERATION
8      while change > 0.01
9          loop = loop + 1;
10         xold = x;
11         % FE-ANALYSIS
12         [U]=FE(nelx,nely,x,penal);
13         % OBJECTIVE FUNCTION AND SENSITIVITY ANALYSIS
14         [KE] = lk;
15         c = 0.;
16         for ely = 1:nely
17             for elx = 1:nelx
18                 n1 = (nely+1)*(elx-1)+ely;
19                 n2 = (nely+1)* elx + ely;
20                 Ue = U([2*n1-1;2*n1; 2*n2-1;2*n2; 2*n2+1; 2*n2+2; 2*n1+1;2*n1+2],1);
21                 c = c + x(ely,elx)^penal*Ue'*KE*Ue;
22                 dc(ely,elx) = -penal*x(ely,elx)^(penal-1)*Ue'*KE*Ue;
23             end
24         end
25         % FILTERING OF SENSITIVITIES
26         [dc] = check(nelx,nely,rmin,x,dc);
27         % DESIGN UPDATE BY THE OPTIMALITY CRITERIA METHOD
28         [x] = OC(nelx,nely,x,volfrac,dc);
29         % PRINT RESULTS
30         change = max(max(abs(x-xold)));
31         disp(['It.: ' sprintf('%4i',loop) 'Obj.: ' sprintf('%10.4f',c) ...
```

Figura 3: Inicio de código

En esta parte se inicia por igual el análisis del material uniformemente en el dominio del diseño. Después, se inicia con la subrutina del análisis de elemento finito. Esta subrutina sirve para regresar o alojar sus resultados en un arreglo o vector de desplazamiento U.

La siguiente parte corresponde al análisis de sensibilidad y la subrutina de rigidez. En esta sección, se realiza, usando la función “for”, un bucle de todos los elementos. Dentro de este bucle, se consigue extraer un segundo vector de desplazamiento el cual viene siendo el vector “Ue”.

La segunda sección del código es el optimizador basado en criterios de optimalidad. Esta subrutina actualiza las variables de diseño y utiliza la sección “sum(sum(xnew))” la cual es una función monótonamente decreciente del multiplicador de Lagrange (lag) que indica el volumen del material.

```

32     ' Vol.: ' sprintf('%6.3f',sum(sum(x))/(nelx*nely)) ...
33     ' ch.: ' sprintf('%6.3f',change )])
34     % PLOT DENSITIES
35     colormap(gray); imagesc(-x); axis equal; axis tight; axis off; pause(1e-6);
36 end
37 end
38 |
39 %%%%%%%%%%%%%%%%%%%%%%%%%%%%%%%%%%%%%%%%%%%%%%%%%%%%%%%%%%%%%%%%%%%%%%%%%% OPTIMALITY CRITERIA UPDATE %%%%%%%%%%%%%%%%%%%%%%%%%%%%%%%%%%%%%%%%%%%%%%%%%%%%%%%%%%%%%%%%%%%%%%%%%%
40 function [xnew]=OC(nelx,nely,x,volfrac,dc)
41 l1 = 0; l2 = 100000; move = 0.2;
42 while (l2-l1 > 1e-4)
43     lmid = 0.5*(l2+l1);
44     xnew = max(0.001,max(x-move,min(1.,min(x+move,x.*sqrt(-dc./lmid)))));
45     if sum(sum(xnew)) - volfrac*nelx*nely > 0
46         l1 = lmid;
47     else
48         l2 = lmid;
49     end
50 end
51 end

```

Figura 4: Sección 2 del código

La tercera sección, consiste en un filtrado de malla, aquí se controla las variaciones en las variables en caso de que ocurra algún percance.

```

%%%%%%%%%%%%%%%%%%%%%%%%%%%%%%%%%%%%%%%%%%%%%%%%%%%%%%%%%%%%%%%%%%%%%%%%% MESH-INDEPENDENCY FILTER %%%%%%%%%%%%%%%%%%%%%%%%%%%%%%%%%%%%%%%%%%%%%%%%%%%%%%%%%%%%%%%%%%%%%%%%%%
function [dcn]=check(nelx,nely,rmin,x,dc)
dcn=zeros(nely,nelx);
for i = 1:nelx
    for j = 1:nely
        sum=0.0;
        for k = max(i-round(rmin),1):min(i+round(rmin),nelx)
            for l = max(j-round(rmin),1):min(j+round(rmin), nely)
                fac = rmin-sqrt((i-k)^2+(j-l)^2);
                sum = sum+max(0,fac);
                dcn(j,i) = dcn(j,i) + max(0,fac)*x(l,k)*dc(l,k);
            end
        end
        dcn(j,i) = dcn(j,i)/(x(j,i)*sum);
    end
end
end
end

```

Figura 5: Sección 3 del código

la última parte del código, corresponde al código del elemento finito y a la matriz de rigidez global, la cual está formada por un bucle sobre todos los elementos, algo similar a lo que se vio en una sección previa del código. Acá se vuelven a utilizar las variables n1 y n2 que indican los números de nodos de elementos superior izquierdo y derecho en números de nodos globales. Estos datos se obtienen y se usan para insertar la matriz de rigidez de elementos adecuadamente en la matriz de rigidez global. Finalmente, se realiza un cálculo para determinar la matriz de rigidez del elemento. Para esto se utiliza el módulo de Young (E) y la relación de Poisson (ν).

```

71 %%%%%%%%%%% FE-ANALYSIS %%%%%%%%%%%
72 function [U]=FE(nelx,nely,x,penal)
73 [KE] = lk;
74 K = sparse(2*(nelx+1)*(nely+1), 2*(nelx+1)*(nely+1));
75 F = sparse(2*(nely+1)*(nelx+1),1); U =sparse(2*(nely+1)*(nelx+1),1);
76 for ely = 1:nely
77     for elx = 1:nelx
78         n1 = (nely+1)*(elx-1)+ely;
79         n2 = (nely+1)* elx +ely;
80         edof = [2*n1-1; 2*n1; 2*n2-1; 2*n2; 2*n2+1;2*n2+2;2*n1+1; 2*n1+2];
81         K(edof,edof) = K(edof,edof) + x(ely,elx)^penal*KE;
82     end
83 end
84 % DEFINE LOADSAND SUPPORTS(HALF MBB-BEAM)
85 F(2,1) = -1;
86 fixeddofs =union([1:2*(nely+1)],[2*(nelx+1)*(nely+1)]);
87 alldofs = [1:2*(nely+1)*(nelx+1)];
88 freedofs = setdiff(alldofs,fixeddofs);
89 % SOLVING 127
90 U(freedofs,:) = K(freedofs,freedofs) \F(freedofs,:);
91 U(fixeddofs,:)= 0;
92 end
93 %%%%%%%%%%% ELEMENT STIFFNESS MATRIX %%%%%%%%%%%
94 function [KE]=lk
95 E = 1.;
96 nu = 0.3;
97 k=[ 1/2-nu/6 1/8+nu/8 -1/4-nu/12 -1/8+3*nu/8 ...
98 -1/4+nu/12 -1/8-nu/8 nu/6 1/8-3*nu/8];
99 KE = E/(1-nu^2)*[ k(1) k(2) k(3) k(4) k(5) k(6) k(7) k(8)
100 k(2) k(1) k(8) k(7) k(6) k(5) k(4) k(3)]

```

Figura 6: Parte final del código

```

101 k(3) k(8) k(1) k(6) k(7) k(4) k(5) k(2)
102 k(4) k(7) k(6) k(1) k(8) k(3) k(2) k(5)
103 k(5) k(6) k(7) k(8) k(1) k(2) k(3) k(4)
104 k(6) k(5) k(4) k(3) k(2) k(1) k(8) k(7)
105 k(7) k(4) k(5) k(2) k(3) k(8) k(1) k(6)
106 k(8) k(3) k(2) k(5) k(4) k(7) k(6) k(1)];
107 end

```

Figura 7: Parte fina del código

7. Implementacion o desarrollo de la programación en sus diferentes vistas

Para la primera prueba se utilizarán los valores $P1(30,10,0.5,3,1.5)$, los resultados fueron los siguientes.

K>> P1(30,10,0.5,3,1.5)					
It.:	10bj.:	984.5548	Vol.:	0.500	ch.: 0.200
It.:	20bj.:	580.4116	Vol.:	0.500	ch.: 0.200
It.:	30bj.:	419.0640	Vol.:	0.500	ch.: 0.200
It.:	40bj.:	357.2235	Vol.:	0.500	ch.: 0.194
It.:	50bj.:	337.8750	Vol.:	0.500	ch.: 0.125
It.:	60bj.:	327.5757	Vol.:	0.500	ch.: 0.141
It.:	70bj.:	319.9654	Vol.:	0.500	ch.: 0.105
It.:	80bj.:	312.9614	Vol.:	0.500	ch.: 0.113
It.:	90bj.:	307.3377	Vol.:	0.500	ch.: 0.090
It.:	100bj.:	302.7199	Vol.:	0.500	ch.: 0.095
It.:	110bj.:	298.9022	Vol.:	0.500	ch.: 0.075
It.:	120bj.:	295.5064	Vol.:	0.500	ch.: 0.080
It.:	130bj.:	292.2006	Vol.:	0.500	ch.: 0.068
It.:	140bj.:	288.9708	Vol.:	0.500	ch.: 0.066
It.:	150bj.:	285.5598	Vol.:	0.500	ch.: 0.062
It.:	160bj.:	281.9851	Vol.:	0.500	ch.: 0.063
It.:	170bj.:	277.8991	Vol.:	0.500	ch.: 0.059
It.:	180bj.:	273.2379	Vol.:	0.500	ch.: 0.066
It.:	190bj.:	267.7815	Vol.:	0.500	ch.: 0.062
It.:	200bj.:	261.5262	Vol.:	0.500	ch.: 0.073
It.:	210bj.:	254.5783	Vol.:	0.500	ch.: 0.064
It.:	220bj.:	247.6060	Vol.:	0.500	ch.: 0.061
It.:	230bj.:	241.9718	Vol.:	0.500	ch.: 0.048
It.:	240bj.:	238.3026	Vol.:	0.500	ch.: 0.031
It.:	250bj.:	236.0399	Vol.:	0.500	ch.: 0.025
It.:	260bj.:	234.4791	Vol.:	0.500	ch.: 0.023
It.:	270bj.:	233.3757	Vol.:	0.500	ch.: 0.020

(a) Primeros resultados

It.:	280bj.:	232.5235	Vol.:	0.500	ch.: 0.022
It.:	290bj.:	231.8796	Vol.:	0.500	ch.: 0.019
It.:	300bj.:	231.3397	Vol.:	0.500	ch.: 0.021
It.:	310bj.:	230.9233	Vol.:	0.500	ch.: 0.019
It.:	320bj.:	230.5497	Vol.:	0.500	ch.: 0.019
It.:	330bj.:	230.2440	Vol.:	0.500	ch.: 0.018
It.:	340bj.:	229.9589	Vol.:	0.500	ch.: 0.018
It.:	350bj.:	229.7230	Vol.:	0.500	ch.: 0.018
It.:	360bj.:	229.4823	Vol.:	0.500	ch.: 0.017
It.:	370bj.:	229.2861	Vol.:	0.500	ch.: 0.017
It.:	380bj.:	229.0731	Vol.:	0.500	ch.: 0.016
It.:	390bj.:	228.8956	Vol.:	0.500	ch.: 0.016
It.:	400bj.:	228.7072	Vol.:	0.500	ch.: 0.015
It.:	410bj.:	228.5415	Vol.:	0.500	ch.: 0.015
It.:	420bj.:	228.3703	Vol.:	0.500	ch.: 0.014
It.:	430bj.:	228.2082	Vol.:	0.500	ch.: 0.015
It.:	440bj.:	228.0390	Vol.:	0.500	ch.: 0.014
It.:	450bj.:	227.8872	Vol.:	0.500	ch.: 0.014
It.:	460bj.:	227.7236	Vol.:	0.500	ch.: 0.014
It.:	470bj.:	227.5839	Vol.:	0.500	ch.: 0.013
It.:	480bj.:	227.4199	Vol.:	0.500	ch.: 0.014
It.:	490bj.:	227.2842	Vol.:	0.500	ch.: 0.013
It.:	500bj.:	227.1235	Vol.:	0.500	ch.: 0.014
It.:	510bj.:	226.9944	Vol.:	0.500	ch.: 0.013
It.:	520bj.:	226.8463	Vol.:	0.500	ch.: 0.014
It.:	530bj.:	226.7106	Vol.:	0.500	ch.: 0.013
It.:	540bj.:	226.5837	Vol.:	0.500	ch.: 0.014
It.:	550bj.:	226.4665	Vol.:	0.500	ch.: 0.012
It.:	560bj.:	226.3483	Vol.:	0.500	ch.: 0.013

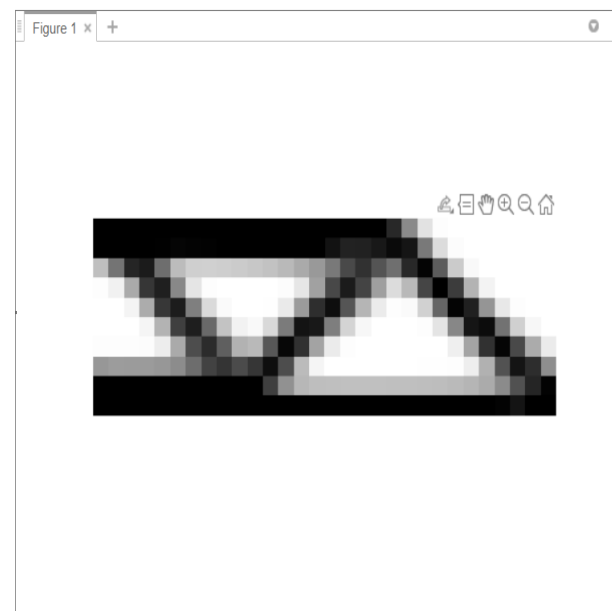
(b) Continuacion de resultados parte 2

Figura 8: Lista de resultados

Continuacion de resultados:

It.:	560bj.:	226.3483	Vol.:	0.500	ch.:	0.013
It.:	570bj.:	226.2407	Vol.:	0.500	ch.:	0.012
It.:	580bj.:	226.1522	Vol.:	0.500	ch.:	0.013
It.:	590bj.:	226.0659	Vol.:	0.500	ch.:	0.012
It.:	600bj.:	226.0011	Vol.:	0.500	ch.:	0.012
It.:	610bj.:	225.9469	Vol.:	0.500	ch.:	0.011
It.:	620bj.:	225.9007	Vol.:	0.500	ch.:	0.012
It.:	630bj.:	225.8573	Vol.:	0.500	ch.:	0.011
It.:	640bj.:	225.8175	Vol.:	0.500	ch.:	0.011
It.:	650bj.:	225.7725	Vol.:	0.500	ch.:	0.011
It.:	660bj.:	225.7431	Vol.:	0.500	ch.:	0.011
It.:	670bj.:	225.7040	Vol.:	0.500	ch.:	0.011
It.:	680bj.:	225.6692	Vol.:	0.500	ch.:	0.010
It.:	690bj.:	225.6473	Vol.:	0.500	ch.:	0.010
It.:	700bj.:	225.6202	Vol.:	0.500	ch.:	0.010
It.:	710bj.:	225.6070	Vol.:	0.500	ch.:	0.010
It.:	720bj.:	225.5880	Vol.:	0.500	ch.:	0.010

(a) Continuacion de resultados parte 3



(b) Figura resultante

Figura 9: Resultados parte 2

8. Conclusiones

■ Diego O.

Ya finalizada esta práctica se puede concluir acerca de la importancia que tiene el uso de los diferentes lenguajes de programación como lo es Matlab para poder hacer una representación mas visual de diferentes aplicaciones en la vida cotidiana, tal cual es el caso de la optimización topológica el cual al ser un análisis mecánico de una estructura tiene principal objetivo el aligeramiento estructural manteniendo las funcionalidades mecánicas del componente objetivo que ya en un caso más aterrizado a la unidad de aprendizaje seria a un objeto como una prótesis de mano, dedo entre otras.

■ Ana L.

En esta práctica, por medio del software MATLAB, se llevo a cabo un analisis de un codigo de optimizacion topologico, es decir, una herramienta de análisis estructural en la cual su principal objetivo es el de aligerar estructuralmente cierto componente y en donde el peso de este es crucial. En el código en MATLAB se pudieron observar varias funciones fundamentales para realizar este tipo de optimización, al igual que se aprendio a utilizar la interfaz MATLAB para hacer posible la realización de esta práctica.

■ Uriel G.

Al termino de realizar de la practica e investigar varios conceptos para la comprensión del objetivo de la practica se puede concluir que MATLAB es una gran herramienta que ha ayudado a generar diferentes soluciones en varios campos de aplicación por medio de métodos como la optimización topológica que se basa principalmente en generar y mantener una estructura adecuada para diferentes piezas que son utilizadas en campos por mencionar la automotriz , manteniendo sus funcionalidades mecánicas . Cabe mencionar tambien que la generación del codigo fue complicada ya que algunos comandos no eran comprendidos fácilmente, por eso mismo fue necesario el realizar prueba y error para lograr solucionar el error marcado.

■ Marcela O.

En esta práctica utilizamos el software MATLAB enfocado al análisis de un código de optimización topológico. La programación y estudio de este caso nos ayuda en los análisis de estructuras. Para el código tuvimos imprevistos y trabas por el poco uso que hemos tenido con el software, pero pudimos corregirlo con éxito. Así mismo nos dimos cuenta que el uso de programas como MATLAB son herramientas que nos ayudan e impactan de gran manera, no solo en proyectos escolares, también su uso en la industria.

■ Ernesto A.

Para esta práctica realizamos una investigación para la comprensión de la optimización topologica, para ello se nos proporcionó un ejemplo el cuál pudimos comprender por medio de un código de MATLAB, el cuál pedía ciertos datos para su funcionamiento adecuado, con ello pudimos ver cómo la optimización tecnológica es usada en el campo laboral como es en el análisis de estructuras o piezas en todo caso.

Referencias

- [1] Anonimo. Optimización topológica, 2019.
- [2] L. C. La optimización topológica en la impresión 3d, Diciembre 2020.
- [3] C. M. Optimización topológica en el diseño de elementos estructurales mecánicos, 2012.